

SÉRIES TEMPORELLES LINÉAIRES  
**Examen 2018-2019**

*Durée : 2 heures. Sans document et calculatrice.*

Les exercices sont indépendants. Il est demandé de justifier les réponses de façon concise.

**Exercice 1 (graphiques)**

1. Pour chacune des trajectoires (a), (b), (c) et (d) de la figure 1, quelle est la transformation la plus adaptée pour rendre la série stationnaire :
  - la différentiation ordinaire  $\nabla X_t = X_t - X_{t-1}$  ?
  - la différentiation saisonnière  $\nabla_s X_t = X_t - X_{t-s}$  avec un  $s$  à préciser ?
  - aucune car la série semble déjà stationnaire ?

La série (a) semble stationnaire, pour les séries (b) et (d) qui présentent une tendance linéaire, la différentiation ordinaire semble la plus adaptée, pour la série (c) la différentiation saisonnière avec  $s = 12$  devrait faire disparaître la saisonnalité.

2. Quelle est la définition de la fonction d'autocorrélation ? de la fonction d'autocorrélation partielle ? Sous quelles hypothèses ces fonctions sont-elles définies ? Quel modèle ARMA est compatible avec les autocorrélogrammes de la figure 2 ? Pour un processus stationnaire au second ordre ( $X_t$ ), l'autocorrélation de retard  $h$  est la corrélation entre  $X_t$  et  $X_{t-h}$ , l'autocorrélation partielle de retard  $h > 0$  est la corrélation entre  $X_t$  et  $X_{t-h}$  sachant les variables intermédiaires  $X_{t-h+1}, \dots, X_{t-1}$ . Comme les autocorrélation partielles d'un  $AR(p)$  s'annulent à partir du retard  $h > p$ , la figure est compatible avec un  $AR(2)$ .
3. La figure 3 représente les autocorrélations et autocorrélations partielles empiriques d'une série  $X_1, \dots, X_n$  avec  $n = 60$ . Comment sont calculées

les autocorrélations empiriques ? Que représentent les pointillés sur la figure ? L'autocorrélation empirique de retard  $0 \leq h < n$  est définie par

$$\hat{\rho}_n(h) = \frac{1}{n} \sum_{t=1+h}^n (X_t - \bar{X}_n)(X_{t-h} - \bar{X}_n), \quad \bar{X}_n = \frac{1}{n} \sum_{t=1}^n X_t.$$

Si les  $X_t$  sont iid de variance finie, d'après le TCL on sait que

$$P(\hat{\rho}_n(h) \in \pm 1.96/\sqrt{n}) \simeq 0.95.$$

Les pointillés figurent les limites  $1.96/\sqrt{n}$  de cette zone dans laquelle les autocorrélations empiriques de données iid se trouvent avec une probabilité de 95% lorsque  $n$  est grand.

4. Quel modèle ou quels modèles ARMA semblent le plus plausibles pour la série dont les autocorrélogrammes sont donnés par la figure 3 ? D'après ce que l'on vient de dire, il est plausible que la série soit réalisation d'un AR(2).

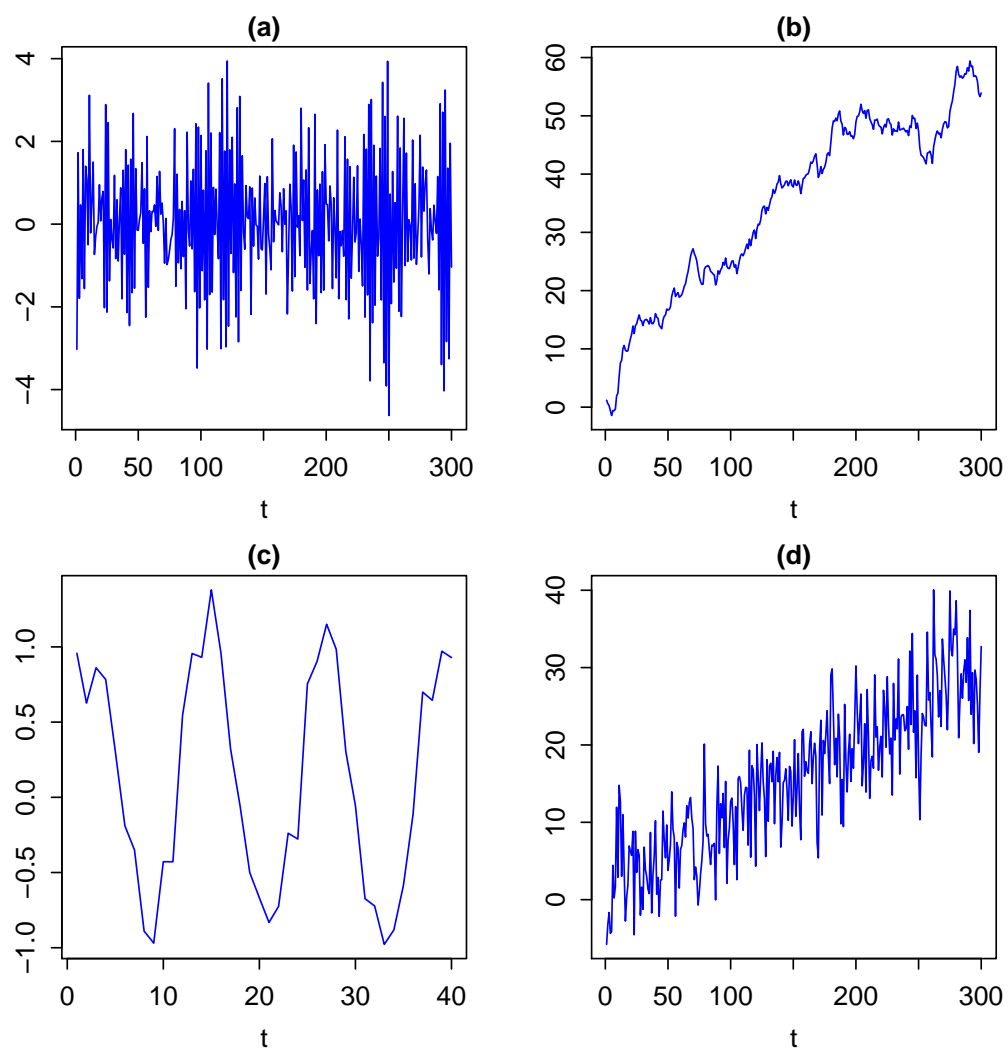


FIGURE 1 – Trajectoire de 4 séries.

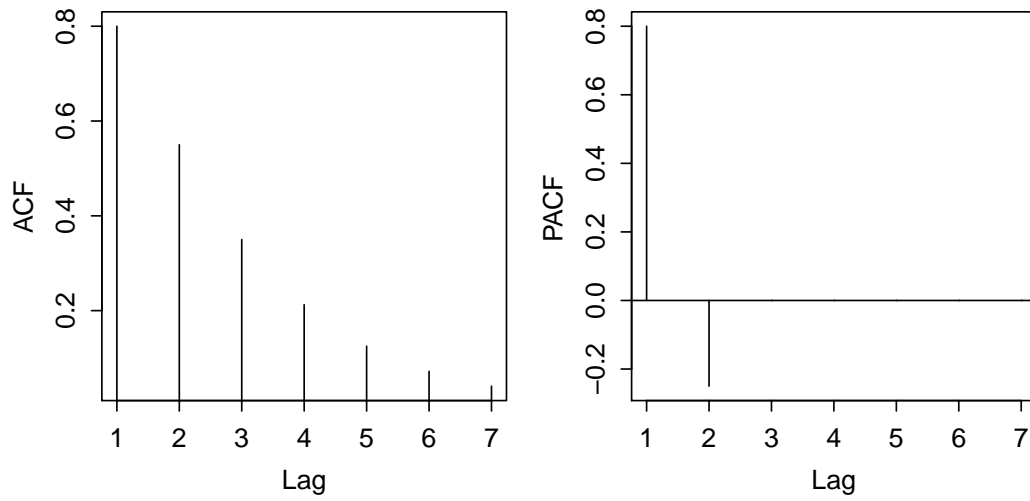


FIGURE 2 – Autocorrelations (ACF) et autocorrélations partielles (PACF) théoriques d'un processus.

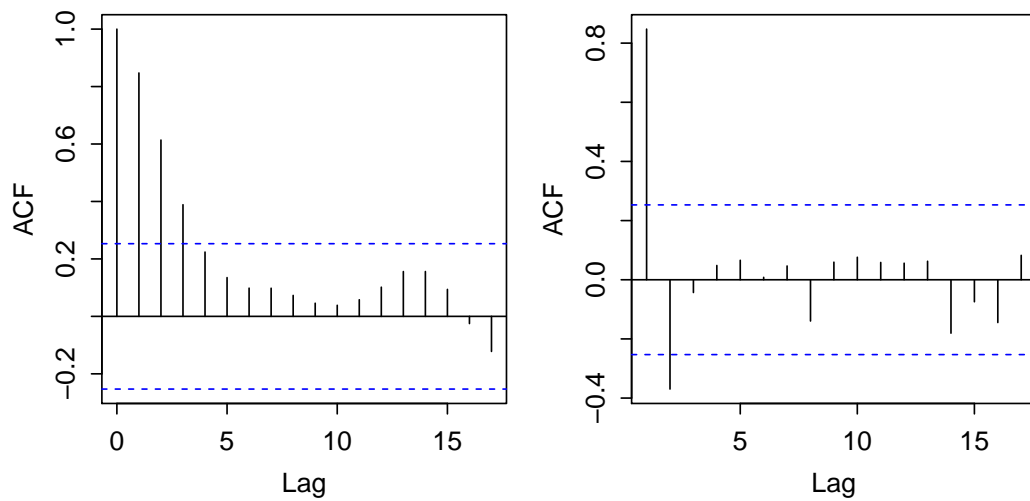


FIGURE 3 – Autocorrelations (ACF) et autocorrélations partielles (PACF) empiriques d'une série.

**Exercice 2 (Causalité au sens de Granger)** Soit  $\epsilon_t = (\epsilon_{1t}, \epsilon_{2t}, \epsilon_{3t})'$  un bruit blanc de matrice de variance

$$\Sigma = \begin{pmatrix} \times & 0 & \\ & \times & \\ & & \times \end{pmatrix}.$$

où "0" représente un zéro, " $\times$ " représente un nombre non nul et certains éléments de la matrice ne sont pas spécifiés. Soit  $X_t = (X_{1t}, X_{2t}, X_{3t})'$  satisfaisant un modèle VAR(1) stationnaire de la forme

$$X_t = AX_{t-1} + \epsilon_t, \quad A = \begin{pmatrix} \times & & 0 \\ & \times & \\ & & \times \end{pmatrix}.$$

1. Compléter la matrice  $A$  et/ou  $\Sigma$  par des "0" et/ou des " $\times$ " pour que, au sens de Granger,

- $X_{1t}$  ne cause pas  $(X_{2t}, X_{3t})$ ;
- $X_{2t}$  cause  $(X_{1t}, X_{3t})$ ;
- $X_{3t}$  cause  $(X_{1t}, X_{2t})$ ;
- $(X_{2t}, X_{3t})$  cause  $X_{1t}$ .

D'après l'écriture VAR, à la date  $t-1$  la **prévision optimale de  $(X_{2t}, X_{3t})$**  est

$$\begin{pmatrix} \times & a_{23} \\ a_{32} & \times \end{pmatrix} \begin{pmatrix} X_{2,t-1} \\ X_{3,t-1} \end{pmatrix} + \begin{pmatrix} a_{21} \\ a_{31} \end{pmatrix} X_{1,t-1}.$$

Pour que  $X_{1,t-1}$  n'intervienne pas dans cette précision, c'est-à-dire pour que  $X_{1t}$  ne cause pas  $(X_{2t}, X_{3t})$ , il faut donc que  $a_{21} = a_{31} = 0$ . Par le même raisonnement, pour que  $X_{2t}$  cause  $(X_{1t}, X_{3t})$  il faut que  $a_{12}$  ou  $a_{32}$  soit non nul. Pour que  $X_{3t}$  cause  $(X_{1t}, X_{2t})$  il faut que  $a_{13}$  ou  $a_{23}$  soit non nul, mais comme  $a_{13} = 0$ , on doit avoir  $a_{23} = \times$ . Pour que  $(X_{2t}, X_{3t})$  cause  $X_{1t}$ , il faut  $a_{12} = \times$ , puisque  $a_{13} = 0$ . Finalement

$$A = \begin{pmatrix} \times & \times & 0 \\ 0 & \times & \times \\ 0 & & \times \end{pmatrix}$$

avec  $a_{32}$  quelconque.

2. Compléter la matrice  $A$  et/ou  $\Sigma$  par des "0" et/ou des " $\times$ " pour que, au sens de Granger,
- il y ait causalité instantanée entre  $X_{1t}$  et  $(X_{2t}, X_{3t})$ ;
  - il y ait pas de causalité instantanée entre  $X_{2t}$  et  $(X_{1t}, X_{3t})$ .

Pour qu'il n'y ait pas de causalité instantanée entre  $X_{2t}$  et  $(X_{1t}, X_{3t})$ , il faut  $\Sigma(2, 1) = \Sigma(2, 3) = 0$  et par symétrie  $\Sigma(1, 2) = \Sigma(3, 2) = 0$ . Pour qu'il y ait causalité instantanée entre  $X_{1t}$  et  $(X_{2t}, X_{3t})$ , il faut  $\Sigma(1, 3) = \times$ , car  $\Sigma(1, 2) = 0$ . On a aussi  $\Sigma(1, 3) = \times$ . Finalement

$$\Sigma = \begin{pmatrix} \times & 0 & \times \\ 0 & \times & 0 \\ \times & 0 & \times \end{pmatrix}.$$

**Exercice 3 (Cointégration ou spurious régression)** Soit  $(\epsilon_t)$  et  $(\eta_t)$  deux bruits blancs forts indépendants et le système

$$\begin{cases} Y_t = aX_t + b + \eta_t \\ X_t = cX_{t-1} + d + \epsilon_t. \end{cases}$$

1. Donner des valeurs à  $a$ ,  $b$ ,  $c$ , et  $d$  pour que le système soit cointégré.

Si  $c = 1$  alors  $X_t$  est I(1) et si  $a \neq 0$  la première équation est bien une relation de cointégration.

2. Fabriquer un exemple semblable de système ou la régression de  $Y_t$  sur  $X_t$  soit **spurious (fallacieuse)**. Avec un système de la forme

$$\begin{cases} Y_t = Y_{t-1} + b + \eta_t \\ X_t = X_{t-1} + d + \epsilon_t, \end{cases}$$

la régression de  $Y_t$  sur  $X_t$  n'aurait aucun sens. Même si les variables sont indépendantes, **comme elles sont I(1), le beta de cette régression pourrait sembler significativement non nul.**

**Exercice 4 (Processus stationnaire ou à racine unité)** Soit  $(\epsilon_t)$  et  $(\eta_t)$  deux bruits blancs forts indépendants et deux processus  $(X_t)$  et  $(Y_t)$  satisfaisant

- $X_t = aX_{t-1} + b + \epsilon_t$ ,
- $Y_t = X_t + \eta_t$  pour tout  $t$ .

1. Donner une condition sur  $a$  et/ou  $b$  pour que  $(X_t)$  soit un AR(1) stationnaire causal. Quel est alors le modèle suivi par  $(Y_t)$ ? Si  $|a| < 1$ , on sait que  $(X_t)$  est un AR(1) stationnaire causal, dont la fonction d'autocorrélation satisfait  $\rho_X(h) = a\rho_X(h-1)$  pour tout  $h > 0$ . La fonction d'autocorrélation de  $(Y_t)$  satisfait  $\rho_Y(h) = \rho_X(h) = a\rho_X(h-1)$  pour tout  $h > 0$ , donc  $\rho_Y(h) = a\rho_Y(h-1)$  pour tout  $h > 1$ , ce qui montre que  $(Y_t)$  est un ARMA(1,1).
2. On suppose maintenant que l'on observe  $Y_1, \dots, Y_n$ , mais pas les  $X_t$ . Peut-on tester l'hypothèse nulle  $H_0 : a = 1$ ? par quel type de test? est-il plus facile de le faire quand  $b \neq 0$  ou quand  $b = 0$ ? Sous  $H_0$  on a  $Y_t = X_{t-1} + b + \epsilon_t + \eta_t = Y_{t-1} + b + u_t$  avec  $u_t = \epsilon_t + \eta_t - \eta_{t-1}$  qui suis une MA(1) (puisque  $\rho_u(h) = 0$  pour  $h > 1$ ). On peut donc faire le test de racine unité sur les  $Y_t$  (en utilisant en principe Perron-Phillips plutôt que ADF car le terme d'erreur n'est pas un AR). Si  $b \neq 0$ , sous la nulle on a un modèle à racine unité avec une tendance déterministe et sous l'alternative un ARMA(1,1) stationnaire, ce qui doit être facile à distinguer sur la trajectoire, même sans test.